

建設省工研所 正会員 山本 洋司
 " " 鹿井 幸武
 " " 光家 康夫

1. 概要

矢板式基礎の構造特性は、群杭とケーソンの中間的な特性を持つと考えられ、従来の基礎形式に比べ影響する因子は多く、また複雑であるので、これらを全て計算式の中に組み入れると非常に煩雑なものとなってしまう。よって設計計算には不向きなものとなる。そこで矢板式基礎の構造特性を包含することのできる設計法の開発を進めてきたが¹⁾、この設計法は電算機によるプログラムとしてであり、現場の技術者が簡単に用いることが難しいゆえにいままで設計には十分に反映されていないのが実状である。

本報告は、電算機による計算結果を、現場技術者が概略設計において他の基礎形式と比較を行える精度を持つ設計計算図表にまとめ矢板式基礎設計の簡略化を目指したものである。

2. 前提条件

矢板式基礎の設計条件は、矢板および井筒の断面形状、地盤条件、荷重条件等によってその組合せは無数に存在し、そのすべてについて図表を作成することは莫大な図表ができるだけではなく、あまり意味のある計算図表とははない。今回の設計図表作成にあたり設計条件にある程度の制限と数値の範囲を定め、設計における汎用性と概略設計に耐える精度を考え合わせ、次のような前提条件を設けた。

(1) 矢板および井筒の断面形状(図-1参照)

a) 断面寸法

$$\text{井筒径 } D(2R) = 8 \sim 20 \text{ m}$$

矢板断面 $\varnothing 800 \text{ mm} \times 9 \text{ mm}$ (7) (内は腐食代を考慮した厚さ)

(本管) $\varnothing 1000 \text{ mm} \times 14 \text{ mm}$ (14)

$\varnothing 1200 \text{ mm} \times 16 \text{ mm}$ (16)

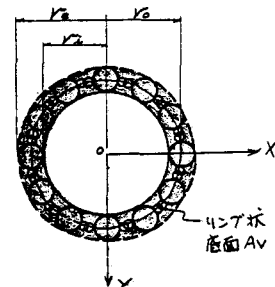


図-1 井筒断面

b) 矢板と頂版の結合条件は剛結合とする。

c) 井筒の断面定数および総手のせん断剛度は、井筒全長にわたり一定とする。

d) 井筒の断面変形は無視する

(2) 地盤条件

a) 設計地盤面は頂版下面とする。

b) 地盤抵抗としては、水平地盤反力係数 k_h (側面のせん断抵抗成分も含む)、側面鉛直方向反力係数 k_s 、底面鉛直反力係数 k_b 、底面せん断反力係数 k_d を考える。

c) 水平地盤反力係数は、根入れ長 l の上部 $l/2$ 間で三角形分布とし、以下一様とする。との算定は、「ケーソン基礎の設計篇」の地震時の算定法を用い、N 値の範囲は 1 ~ 25、換算載荷巾は井筒外径、側面の分担率は 100% とする。(図-2 参照)

d) 底面反力係数の算定は上記ケーソン基準により

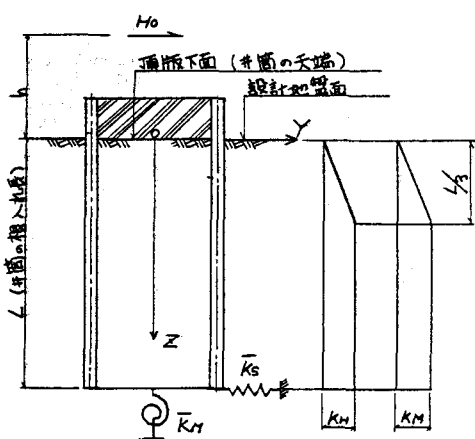


図-2. 井筒の地盤ベース

N値40~60、底面積 A_v はリングとして計算する。

e) 側面鉛直方向反力係数 γ_{v} は γ_{vH} の0.1~0.4倍に、底面せん断反力係数 γ_{ds} は γ_{vH} の1/5とした。

(3) 荷重条件

外力は、頂版下面から上方約の位置に水平力が作用し、その水平力は井筒断面の対象軸であるY軸上にあるとする。

3. 設計図表の作成方法

設計図表の作成にあつては、より汎用性を持せるためにすべてのパラメータを無次元量として扱った。インパット量に関する変数を独立して7つの無次元パラメータにまとめ表-1に示した。

マウント、トについても、7つの無次元量にまとめ、表-2に一覧として示す。

インパットパラメータ中で2つは、図表の横軸と図表中パラメータとして使用でき、残りの5つのパラメータの組み合せにより図表の枚数が定まる。

図-3は計算図表の一例であり、縦軸に S_1 、横軸に π_6 、図表中パラメータに π_6 を示した。図表の左部に π_1 ~ π_5 の設定値を示す。

4. まとめ

図表を使用する際には、下記の事項について注意を要する。

(1) 図表作成において断面変形の影響を無視しており他にも多くの仮定を用いていることより、図表から読み取れる値の若干の割り増しをする必要がある。

(2) 図表の枚数を制限するため、パラメータの値の分割を多少粗めに行つた。そのため、パラメータとマウントの関係をよく吟味し、適切な補間を行はう必要がある。

(3) この図表は概略設計に用い、本設計においては計算プログラムの使用が望ましい。

この図表を作成することにより、矢板式基礎の設計の簡略化はある程度行えるものと思える。しかし、先にも述べたように、井筒断面変形の影響を無視していること、手工地盤の耐力機構の解明、頂版と矢板の結合点における拘束モーメント、施工による残留応力などの未解決の問題が数多く残されている。このようす点について数多くの現場載荷試験や模型実験のデータと数値計算との比較検討を行って、ほんの少しがの補正方法を今後必要と思われる。

参考文献

- 矢板式基礎の特性とその設計法に関する研究、工木研究所報告第150号

表-1 基本定数の無次元パラメータ

無次元パラメーター 記号 内 容	備 考
$\pi_1 \frac{\Delta I_g}{I_g^2}$	矢板と井筒の断面二次モーメントの比
$\pi_2 \sqrt{\frac{K_H}{E I_g^2} \cdot L}$	中間地盤の分布水平地盤バネに対応
$\pi_3 \sqrt{\frac{K_M}{E I_g^2} \cdot L}$	「 分布回転地盤バネ」
$\pi_4 \sqrt{\frac{K_s}{E I_g^2} \cdot L}$	底面地盤の回転地盤バネ
$\pi_5 \sqrt{\frac{R_s}{E I_g^2} \cdot L}$	「 の水平せん断地盤バネ」
$\pi_6 \sqrt{\frac{K_T}{E I_g^2} \cdot L}$	継手のせん断剛度に対応
$\pi_7 \pi_1$	水平外力の作用点に「

表-2 变位と応力の無次元量

無次元量 記号 内 容	備 考
$S_1 \frac{M^*}{E I_g^2 \cdot L}$	矢板の軸力に対応
$S_2 \frac{\Delta M^*}{E I_g^2 \cdot L}$	矢板の曲げモーメントに対応
$S_3 \frac{\gamma_1}{L}$	頂版下面の水平変位に対応
$S_4 \alpha$	頂版の回転角
$S_5 \beta$	井筒のせん断変形

54-1	1	2	3	4	5
	0.002	1.00	0.95	0.90	2.60

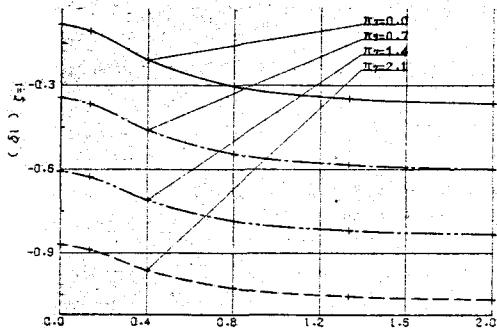


図-3 設計計算図表の例